

石造アーチ橋の洪水による被害について

長崎大学工学部 正員 小西 保 則

1 概 説

石造アーチ橋は紀元前の古くから架けられ、日本で最も古い石造アーチ橋は長崎市中島川に架かる眼鏡橋(1634年)である。これらの石橋は橋梁技術の歴史を知り上での貴重な遺産であり国の重要文化財にも指定されている。他にも長崎市中島川には市指定の重要文化財石橋群桃溪橋、大井手橋、編笠橋、古町橋、一覽橋、早榮橋、東新橋、笠橋などが架かっていて長崎市の名所にもなっている。

昭和57年7月23日の長崎地方の集中豪雨で長崎市内都市部を流れるこの中島川に氾濫した。そしてこれらの石橋群は橋面まで冠水し可成速い流速(3.5%sec~4.0%sec)による動水圧によつて、桃溪橋、眼鏡橋、笠橋はアーチ石は残存したが、アーチスパンとピルラー、高欄が流失し、他の橋は1部橋台石を残して全壊した。都市部にある之等の橋梁は交通道路の1部である。災害の際には道路は避路として、又災害後にも救援活動のための通路会同として重要な役割を有している。

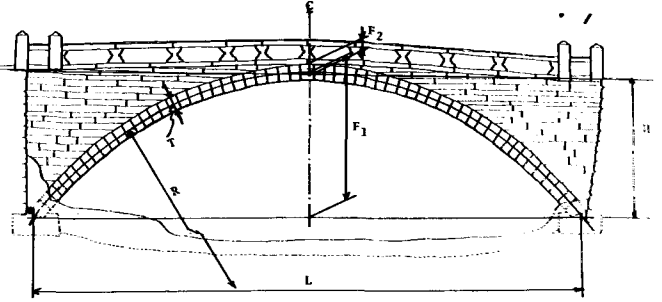


図-1 アーチ橋一般図及び符号図

表-1. 橋りよりの設計寸法

橋名	眼鏡橋	桃溪橋	笠橋	大井手橋	編笠橋	古町橋	一覽橋	早原橋	東新橋
支 距 L (ca)	880	990	1540	1760	1585	1450	1645	1500	1680
拱 矢 F1 (ca)	440	380	363	465	455	380	495	500	475
拱 矢 F2 (ca)	100	40	65	35	50	30	80	60	80
高 さ H (ca)	396	370	330	470	445	400	470	470	450
アーチ橋脚 B (ca)	468	350	437	450	430	430	430	430	430
アーチ石高 T (ca)	60	50.5	66	50	50	60	55	55	50
円半径 R (ca)	440	512.4	998.2	1065.2	917.7	881.6	930.8	812.5	980.2
斜 角 (度)	65.77°	90°	65.90°	82.88°	68.55°	77.01°	90°	90°	90°

多くの財産のみでなく多くの人命をも奪い兼ねない。従つてこれらの重要文化財を改修又は復元した場合文化財石橋の保存性と洪水時の被害を最小限に抑止める治水対策を立案することが大切である。そこでまず、石橋の破壊原因と調査研究するに於ての流水の動水圧により破壊に至る限界の流速を計算した。

2. モデル化

図-1に示すように固定アーチと考へ、流水による動水圧に対しては両端固定の曲線橋と仮定した。

諸寸法は図-1に示す通りである。又石造アーチ橋の幅はBとする。

3 設計条件

(1) 荷重: 冠水したものととして浮力を考へて、石橋の単位重量  $UW = 0.00163 \frac{kg}{cm^3}$  とする。動水圧: 迎角  $0^\circ$  と考へ揚力は考へせず、抗力は  $PH = CT \times B \dots (1)$   $B = \frac{1}{2} PV^2 = \frac{1}{2} \times 0.102 \times 10^3 kg \cdot S^2/m^4 V^2 = 0.0051 \frac{kg \cdot S^2}{m^2 \cdot cm^2} V^2 \dots (2)$   $CT$  は抗力係数で、流水中の物体の幅と高さの比  $\frac{C_{E1} B}{C_{E2} H}$   $CT = -0.21 \times 10^{-3} C^2 + 1.9583 \times 10^{-2} C + 1.1150 \dots (3)$  但し  $CT \leq 2.0$  とする。

(2) 各橋梁の設計寸法: 各橋梁の設計寸法を示すと表-1の通りである。之等の諸寸法は長崎市教育委員会提供の橋梁一般図(縮尺  $1/100$ )より求めた。

4 部材力計算式

静定基本系には固定アーチ、曲線橋梁に中央点で切断し一端固定、中央点自由とし中央点での水平力、モーメント、せん断力、(固定アーチ)、面外曲げモーメント、ねじり、せん断力(曲線橋)を不静定力として圧力法により求めた。計算式は省略する。

5 動水圧によるねじり、アーチ面外曲げ、せん断力に対する応答計算

固定アーチとして鉛直荷重Pによりアーチに面内曲げ $M_V$ , アーチ推力 $N$ , せん断力 $Q_V$ が生ずる。

之に対してアーチ橋に対して水流による抗力 $P_H$ が作用した場合、曲線橋としてのアーチ面外曲げ $M_H$ , ねじり $T_S$ , せん断力 $Q_H$ が生ずる。ねじり抵抗を $J$ , ねじりによるせん断応力を $\tau$ とすると

$$J = \frac{1}{3} BT^3 \dots (3) \quad \tau = T_S / J \times T \dots (4) \quad \text{ここに } T: \text{アーチ石の高さ, } B: \text{アーチ石の幅}$$

である。之に対してはアーチの軸力の推力による摩擦力によって安定している。即ち摩擦係数を0.6と仮定すると目地が回転しないための許容せん断力は $\tau_a$   $\tau_a = N / (T \cdot B) \times 0.6 \dots (5)$

又 $Q_V, Q_H$ に対してはアーチ石間の目地での滑動が起るが、これもアーチ軸力の推力による摩擦力によって安定している。計算の結果 $Q_V, Q_H$ は十分小さくて安定であった。面外曲げに対しては  $e = M_H / N$  (6) より偏心距離が求まるが之が $B/6$ より小さい時は目地に引張が生じない。之に対しては計算の結果、十分小さく安定であった。

表-2. 破壊限界流速及び河積減少率

橋名	眼鏡橋	桃溪橋	袋橋	大井手橋	編笠橋	古町橋	一覽橋	其原橋	東新橋
1.50 m <sup>3</sup> /sec 流した時の計算									
平均流速*	3.2	(3.8)	3.1	(3.6)		4.1	3.3	3.7	
限界流速 $V_L$	3.6	4.9	4.4	3.3	3.3	4.1	2.9	2.9	2.9
河積減少率(%)	23	21	38	35	36	54	44	37	36

\*但し( )は現地観測の流速より計算の平均流速

従つて動水圧によりねじりが生じ、之によつて目地に回転が起り支間の1/4点附近のアーチ石が回転、脱落、流失して破壊

に至つたものと思われる。又斜角の場合は動水圧は斜面に作用すると考えその分は軽減して考え。又式(1)(2)より動水圧は流速の2乗に比例する故、限界流速を $V_L$ と動水圧計算に使用した流速 $V_1$ とすると $V_L$ は

$$V_L = V_1 \times \sqrt{2\alpha/2} \dots (7) \quad \text{にて計算出来る。限界流速計算結果を表-2に示す。}$$

## 6 結論

すでに述べたように石造アーチ橋は、流水による動水圧が水平に作用するものと仮定すると、ねじり、アーチ面外曲げ、およびせん断力が生じ、目地での回転、滑動、圧縮、破壊が起る。この回転に対して、アーチの推力により安定し、滑動に対してアーチ推力の圧縮による摩擦抵抗によつて安定を保つ。動水圧が大きくなると推力及び、推力による摩擦抵抗より回転力、滑動力が大きくなつて回転し、滑動して破壊する。又橋台の洗堀流失によつても破壊する。

中島川のアーチ橋、9橋について調査の結果、破壊機構、流水中の流体の抗力、物体の背後の渦の影響、水中のアーチ推力によるアーチ石間の摩擦係数等、従来の研究の調査、及び実験的研究が必要で数値的には確走不可能であるか流失しなかつた眼鏡橋、桃溪橋、袋橋と流失した大井手橋、編笠橋、古町橋、一覽橋、其原橋、東新橋の9橋の破壊の限界流速の計算の結果を示すと表-2のようになった。

各橋梁共、面外曲げ、せん断力に対しては十分安全であり、主としてねじりによる目地の回転により支間の1/4点附近のアーチ環石が回転、脱落、流失して破壊したものと思われる。

流失しなかつた9橋の内、眼鏡橋は破壊の限界流速は比較的小さい。又この橋梁が流失しなかつたのは河積の減少率が23%と小さいことも原因していると思われる。流失した古町橋は破壊限界流速は4.1 m/sec と大きいから、これは控石垣が左右兩岸に造られていて、アーチ支間が小さいので大になつた。しかしこの橋梁の橋台が河川の中心に立つていたため右側橋台が洗堀され、又河積の減少率も54%と大きいから流水による動水圧により橋梁全体が流失したものと思われる。又大井手橋、編笠橋の破壊限界流速 3.3 m/sec で他の流失した橋梁より僅かに大きいから、これらの橋梁は西山川と中島川との合流点に近く 3.8 m/sec と流速も早く、橋台共橋梁全体が洗堀され流失したものと思われる。

他の流失橋の破壊限界流速は 3.0 m/sec 以下と低い。